
ПРИКАСПИЙСКИЙ ЖУРНАЛ:

управление и высокие технологии № 1 (9) 2010

9. *Paul, S. O.* The Fourier Transform Raman and infrared spectra naftazarine / S. O. Paul, C. J. H. Schutte, P. J. Hendra // Spectrochim. Acta. – Vol. 46A. – P. 323–329.

УДК 539.194: 541.183.12

МОДЕЛИРОВАНИЕ КОЛЕБАТЕЛЬНЫХ СОСТОЯНИЙ ЗОМАНА

М.Д. Элькин, С.И. Татаринов, А.С. Кладиева

На основании модельных неэмпирических расчетов параметров адиабатического потенциала зомана показана возможность предсказательных расчетов ИК- и КР-спектров высокотоксичных фосфорорганических соединений.

Ключевые слова: колебательные спектры, зоман, конформеры зомана, DFT-методы, адиабатический потенциал, ангармоничность.

Key words: vibrational spectra, soman, conformation, DFT-methods, adiabatic potential, anharmonicity.

Использование оптического эксперимента, в первую очередь колебательных спектров молекул в различных фазовых агрегатных состояниях, для изучения свойств высокотоксичных фосфорорганических соединений продиктовано предсказательными возможностями теоретических методов колебательной спектроскопии.

На этом пути четко прослеживаются два подхода. Первый из них, заявленный в работе [6], опирается на известный фрагментарный метод анализа колебательных состояний сложных молекулярных соединений [4]. Метод использует библиотеку изученных молекулярных фрагментов, для которых имеется полный набор экспериментальных данных в ИК- и КР-спектрах, подтвержденных теоретической интерпретацией фундаментальных колебаний. До недавнего времени он был доминирующим в арсенале теоретических методов ИК-спектроскопии при осуществлении предсказательных расчетов сложных молекулярных систем. На то были веские причины, главная из которых – недостаточная точность имеющихся квантовых методов расчета электронной структуры молекулярных соединений для оценки гармонических силовых постоянных.

Отметим, что в периодической литературе по физике молекул информация, связанная с интерпретацией экспериментальных данных в колебательных спектрах на основании теоретических расчетов фундаментальных колебаний, нередко оказывалась противоречивой. Особенно это касается расчетов в рамках классического метода решения прямых и обратных задач теории молекулярных колебаний [8]. Причины такой ситуации подробно описаны в диссертации [1].

Достоверность базы данных молекулярных параметров фрагментарного метода [4] нуждается в дополнительном подтверждении. Таковым на сегодняшний день следует считать неэмпирические квантовые методы, в том числе и DFT-методы [14]. Отдельные результаты таких исследований представлены, к примеру, в монографии [7].

Тонким местом фрагментарного подхода [4] считается методика сшивки фрагментов, а также база данных метода для циклических фрагментов. В последнем случае возникает проблема зависимых координат. Нельзя списывать со счетов и определенный произвол при формировании базы данных фрагментарного подхода для силовых постоянных и электрооптических параметров изученных молекулярных фрагментов. Кроме того, подход редко ис-

СИСТЕМНЫЙ АНАЛИЗ И МАТЕМАТИЧЕСКОЕ МОДЕЛИРОВАНИЕ

пользует информацию о спектрах комбинационного рассеяния отдельных молекулярных фрагментов и не учитывает влияние ангармонизма колебаний.

Вместе с тем практическая ценность накопленной информации по молекулярным параметрам, представленной в исследованиях [4, 8], не поддается сомнению. При проведении предсказательных неэмпирических квантовых расчетов геометрической, конформационной и электронной структуры сложных молекулярных соединений, для которых имеющийся экспериментальный материал охватывает лишь отдельные диапазоны колебательного спектра, хотя бы качественное согласие с подобными расчетами для отдельных молекулярных фрагментов в рамках классического подхода дает основание полагать получаемые результаты достоверными.

Второй подход в задачах молекулярного моделирования связан с использованием неэмпирических квантовых методов расчета структуры и спектров многоатомных молекул. В настоящее время этот подход доминирует в предсказательных расчетах колебательных спектров сложных молекулярных соединений. В рамках этого подхода и решалась задача построения структурно-динамической модели зомана.

Анализ модельных расчетов. Структура молекулы зомана ($C_6H_{14}PFO_2$) представлена на рисунке. Молекулярный фрагмент $PFOCH_3$ мостиком СОР связан с фрагментами парафиновых углеводородов. От зарина эта часть соединения отличается заменой двух атомов водорода в метильной группе на фрагменты CH_3 .

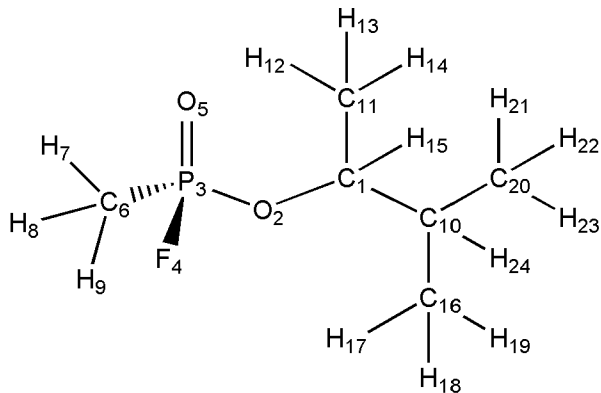


Рис. Структура молекулы зомана

Число колебаний, интерпретируемых как внутреннее вращение фрагментов CHX_2 ($X = H, CH_3$) вокруг связей CC , увеличивается с трех до пяти. Известно, что полосы в колебательных спектрах, отнесенные к указанным колебаниям, располагаются в диапазоне ниже 250 cm^{-1} [8] и легко интерпретируются по форме колебаний [7]. Вместе с тем воспроизведение частот указанных крутильных колебаний в модельных расчетах позволяет сделать вывод о конформационном строении молекулы. Это касается и конформации фрагмента $PFOCH_3$ относительно плоскости мостика СОР. Для этого проведены модельные расчеты оптимальной геометрии и фундаментальных колебательных состояний молекулы зарина при различных значениях угла между плоскостями $C_1O_2P_3$ и $O_2P_3O_5$.

Результатами оптимизации геометрии молекулы являются следующие значения длин валентных связей и валентных углов: $R(1, 2) = 1,48 \text{ \AA}$, $R(1, 10) = 1,54 \text{ \AA}$, $R(1, 11) = 1,52 \text{ \AA}$, $R(2, 3) = 1,60 \text{ \AA}$, $R(3, 4) = 1,61 \text{ \AA}$, $R(3, 5) = 1,48 \text{ \AA}$, $R(3, 6) = 1,80 \text{ \AA}$, $R(10, 16) = 1,53 \text{ \AA}$, $R(10, 20) = 1,54 \text{ \AA}$; $A(1, 2, 3) = 120,2\text{--}122,7^\circ$, $A(2, 3, 4) = 102,5\text{--}102,8^\circ$, $A(2, 3, 5) = 116,8\text{--}117,4^\circ$, $A(2, 3, 6) = 102,5\text{--}103,7^\circ$, $A(5, 3, 4) = 111,7\text{--}112,2^\circ$, $A(4, 3, 6) = 101,4\text{--}102,3^\circ$, $A(5, 3, 6) = 117,8\text{--}118,6^\circ$. Указанные границы диапазона изменения углов фрагмента PFOC

ПРИКАСПИЙСКИЙ ЖУРНАЛ: управление и высокие технологии № 1 (9) 2010

определяются конформацией фрагмента относительно мостика СОР. Длины связей СН лежат в диапазоне 1,09–1,1 Å.

В парафиновом фрагменте отступление величины валентных углов от тетраэдрического значения достигает 4,5° для A_{CCC} . Для A_{CCN} такое расхождение не превышает 3°. Влиянием базиса на значения длин валентных связей можно пренебречь (~ 0,02 Å), для валентных углов парафинового фрагмента расхождение не превышает 0,3°. Следовательно, выбор базиса расчета на предсказательные результаты для длин валентных связей и значений валентных углов принципиального значения не имеет. От соответствующих геометрических параметров в молекуле зарина расхождение находится в этих же пределах.

Крутильные колебания фрагментов CHX_2 ($X = \text{H}, \text{CH}_3$) воспроизводятся лишь в случае, если в исходной модели задается трансконформация соседних фрагментов относительно связей СС. Искажение указанной конформации после оптимизации не превышает 8,4°.

Для зомана реализуется одна конформационная модель, где углы между плоскостью мостика $\text{C}_1\text{O}_2\text{P}_3$ и плоскостями молекулярного фрагмента $\text{P}_3\text{F}_4\text{O}_5\text{C}_6$ имеют величину $D(1, 2, 3, 4) = -90,8^\circ; D(1, 2, 3, 5) = 32,4^\circ; D(1, 2, 3, 6) = 16,6^\circ$. Углы между плоскостями $\text{O}_2\text{C}_1\text{C}_{10}$, $\text{O}_2\text{C}_1\text{C}_{11}$, $\text{O}_2\text{C}_1\text{H}_{15}$ и плоскостью мостика равны (даные приведены для базиса 6–31 G(d) [9]). Использование других базисов приводит к изменению указанных двугранных углов не более чем 2,8°. Следовательно, при моделировании геометрической структуры можно использовать любой базис от 6–31 G(d) до 6–311++ G(d, p).

Отклонение метильной группы фрагмента PFOCH_3 от транс-конформации с фрагментом PO_2F относительно связи РС достигает 10,7°.

Результаты модельных расчетов колебательных состояний зомана приведены в табл. 1–3. Их условно можно разбить на колебания парафинового фрагмента соединения и фрагмента OPFOCH_3 , отвечающего за токсичные свойства молекулы. Расчетные значения фундаментальных частот колебаний парафинового фрагмента зомана представлены в табл. 1. Они сопоставлены с экспериментом из монографии [8] для молекул изобутана и 2,3-диметилбутана. Учитывая, что в зомане замена фрагмента OPFOCH_3 на метильную группу (CH_3) приводит к молекулярной диаграмме 2,3-диметилбутана, то хорошее совпадение эксперимента и результатов модельных расчетов геометрии и колебательных состояний, отнесенных к парафиновому остатку, служит фактором, подтверждающим достоверность данных проведенного численного эксперимента. Не противоречат эти данные и эксперименту в диапазоне 1500–900 cm^{-1} , представленному в публикации [10].

Расчеты в ангармоническом приближении теории молекулярных колебаний указали на наличие более 210 частотных резонансов типа Ферми, более 20 резонансов типа Дарлинга–Деннисона [12]. Резонансное взаимодействие типа Ферми имеет место для фундаментальных состояний, интерпретированных как валентные колебания связей СН и обертонных состояний, интерпретированных как деформационные колебания метильных групп. Однако расхождение резонирующих состояний за счет возмущения, вносимого кубическими силовыми постоянными F_{ijk} по схеме (1) из монографии [2]

$$E = \frac{1}{2} \left\{ (\nu_i + \nu_j + \nu_k) \pm \sqrt{\frac{1}{2} F_{ijk}^2 (1 + \delta_{jk}) + (\nu_i - \nu_j - \nu_k)^2} \right\} \quad (1)$$

существенно меньше ангармонического смещения фундаментальных состояний, рассчитанного в втором порядке адиабатической теории возмущения по схеме из монографии [3]

$$E^{(\nu)} = \nu_s \left(\nu_s + \frac{g_s}{2} \right) + \chi_{sr} \left(\nu_s + \frac{1}{2} \right) \left(\nu_r + \frac{1}{2} \right) \left(1 + \frac{\delta_{sr}}{2} \right) \quad (2)$$

Поэтому приведенные в табл. 1 результаты операции масштабирования [5] частот гармонических колебаний согласуются с ангармоническим смещением уровней, рассчитанным

СИСТЕМНЫЙ АНАЛИЗ И МАТЕМАТИЧЕСКОЕ МОДЕЛИРОВАНИЕ

по схеме (2). Более того, аналогичный результат имеет место, если использовать метод спектроскопических масс.

Таблица 1

Интерпретация колебаний парафинового фрагмента в молекуле зомана

Форма колеб	$\nu_{\text{эксп}}$ [8,13*]	Минимум					Максимум				
		ν_z	ν_m	$\nu_{\text{ане}}$	ИК	КР	ν_z	ν_m	$\nu_{\text{ане}}$	ИК	КР
q_{CH}	2963*	3147	3006	3006	0,84	53,7	3171	3027	3022	1,64	55,9
q_{CH}		3144	3002	2998	0,54	68,1	3169	3026	3017	1,31	81,8
q_{CH}		3117	2978	2978	10,8	40,7	3149	3007	3000	20,1	45,2
q_{CH}		3112	2973	2970	17,8	53,5	3138	2997	2990	23,8	67,6
q_{CH}		3104	2965	2974	21,8	46,6	3133	2992	2987	25,1	54,8
q_{CH}	2904	3092	2955	2951	53,5	98,3	3119	2979	2970	59,8	101
q_{CH}		3088	2951	2949	28,5	43,4	3114	2975	2969	33,2	48,9
q_{CH}		3084	2947	2944	8,67	17,2	3110	2971	2962	12,5	22,2
q_{CH}		3061	2925	2930	0,02	53,5	3083	2946	2962	6,95	110
q_{CH}	2926*	3058	2922	2940	0,02	71,2	3081	2944	2945	12,9	157
q_{CH}		3045	2910	2958	8,74	142	3068	2932	2996	11,2	214
q_{CH}		3029	2896	2974	18,8	94,7	3053	2918	2987	23,9	132
q_{CH}	2894	3023	2891	2967	21,9	33,3	3046	2912	2978	25,2	39,1
q_{CH}	2880	3019	2887	2900	4,31	81,9	3034	2901	2905	15,2	116
α_{HCH}	1484*	1514	1467	1478	4,61	2,19	1544	1496	1482	9,78	9,13
α_{HCH}		1509	1462	1470	1,99	5,77	1539	1490	1480	11,0	11,5
α_{HCH}		1505	1458	1477	0,71	4,00	1537	1489	1485	7,82	13,2
α_{HCH}	1445	1492	1446	1443	1,25	1,53	1522	1474	1455	4,89	24,6
α_{HCH}		1490	1443	1455	0,62	1,55	1521	1474	1461	6,49	30,4
α_{HCH}	1463*	1488	1442	1454	0,42	10,7	1519	1471	1460	4,25	32,4
α_{HCH}		1458	1413	1425	6,63	5,28	1491	1445	1432	8,32	16,9
β_{CCH}	1416*	1429	1385	1393	6,92	0,50	1453	1408	1405	17,0	2,09
β_{CCH}		1426	1382	1391	14,2	0,83	1451	1407	1395	22,1	2,62
β_{CCH}	1397*	1404	1361	1372	4,62	0,76	1431	1387	1388	5,52	2,87
β_{CCH}	1382*	1397	1355	1365	1,96	0,94	1415	1372	1373	5,85	4,26
β_{OCH}	1364*	1390	1348	1356	0,65	4,75	1404	1361	1357	2,61	7,23
β_{CCH}	1321*	1350	1310	1321	0,68	0,13	1374	1333	1325	44,7	5,87
β_{CCH}		1301	1341	1301	1313	1,33	1351	1311	1317	3,61	9,03
Q_{CC}	1195	1219	1184	1190	0,72	3,00	1233	1197	1195	0,77	3,21
Q_{CC}	1163	1182	1148	1158	1,54	0,48	1194	1160	1163	2,81	0,87
Q_{CC}	1129	1149	1116	1121	2,64	4,67	1165	1132	1131	8,32	5,71
β_{CCH}	1079*	1110	1079	1082	29,7	2,48	1127	1096	1089	48,3	3,56
β_{CCH}	1038	1035	1007	1019	2,07	1,61	1046	1018	1021	7,00	2,39
β_{CCH}	957	969	943	952	1,52	3,05	977	951	965	9,03	4,31
Q_{CC}	910	909	885	889	2,29	5,16	920	896	894	4,40	6,30
β_{CCH}	799	804	783	781	14,1	5,66	817	796	789	28,6	6,36
Q_{CC}	752*	760	741	752	1,65	5,95	779	759	767	5,02	11,2
β_{CCC}	537	568	554	562	1,42	1,82	575	562	571	3,35	2,39
β_{CCO}	479	496	485	486	18,9	0,74	513	501	503	32,6	2,89
β_{CCC}	379	352	344	345	2,71	0,45	382	373	352	11,7	1,24
β_{CCC}	346	313	306	317	0,20	0,51	327	320	323	9,89	2,08
β_{CCC}	267	279	273	266	0,35	0,34	283	277	272	0,74	0,56
β_{CCO}	194	200	196	198	0,69	0,79	210	206	200	5,59	0,93

ПРИКАСПИЙСКИЙ ЖУРНАЛ:

управление и высокие технологии № 1 (9) 2010

Указанные факты дают основание утверждать, что операцию масштабирования для парафиновых углеводородов следует рассматривать как метод качественной оценки влияния ангармонизма колебаний. Расчеты параметров адиабатического потенциала в рамках DFT-метода функционала плотности [11] дают возможность оценить значения гармонических силовых постоянных и констант ангармоничности, входящих в соотношение (2), что необходимо для оценки обертонных состояний молекулы.

Результаты модельных расчетов колебательных состояний фрагмента PFOCH₃ приведены в табл. 2 и сопоставлены с экспериментальными данными из работы [10]. Расчетное значение частоты колебания $Q_{P=O}$ совпадает и с полосой в спектре из работы [10], и с соответствующими данными из монографии [8] для молекул типа POX₃. Другими экспериментальными данными для указанного фрагмента мы не обладаем, однако можем провести сравнение с модельными расчетами для молекулы зарина, приведенными в работе [9].

Таблица 2
Интерпретация колебаний фрагмента PFOCH₃ в молекуле зомана

Форма колеб	$v_{эксп}$ [10,13*]	Минимум					Максимум				
		v_e	v_m	$v_{анг}$	ИК	КР	v_e	v_m	$v_{анг}$	ИК	КР
α_{PCH}	1430	1460	1415	1426	3,41	5,64	1492	1446	1433	4,50	13,5
α_{PCH}	1320	1357	1316	1326	1,73	1,79	1383	1341	1334	39,8	5,86
$Q_{P=O}$	1276*	1282	1245	1279	171	4,16	1306	1267	1290	206	9,33
Q_{CO}	1016	1007	979	982	220	3,71	1023	995	987	277	4,03
Q_{OP}	970	979	953	960	325	1,33	985	958	961	389	4,34
β_{PCH}	930	940	915	923	41,5	0,71	959	933	930	50,4	2,50
β_{PCH}	920	937	912	929	1,46	0,95	946	921	930	4,68	1,32
β_{PCH}	910	924	900	908	19,6	2,86	941	916	916	23,6	6,90
Q_{PF}	838	796	776	796	88,5	1,94	848	826	834	115	3,76
Q_{PC}	731*	719	702	714	27,1	12,3	738	719	725	41,4	17,0
β_{OPC}	470*	454	444	449	17,5	3,04	466	456	450	29,3	5,39
β_{OPO}	440*	431	422	422	12,3	0,58	454	444	448	35,1	2,23
α_{OPF}	–	396	387	391	9,78	2,01	408	399	401	13,5	2,92
α_{FPC}	–	267	262	239	0,18	0,09	271	265	273	0,41	0,62
β_{OPF}	–	233	228	212	0,31	0,36	239	234	225	0,88	0,66
β_{COP}	–	129	126	125	6,54	0,30	139	137	132	8,90	0,59

Различие частот валентных колебаний связей составляет не более 25 см⁻¹, деформационных колебаний – не превосходит 12 см⁻¹, что удовлетворяет критерию точности предсказательных расчетов фосфорорганических соединений, предложенному в работе [6]. В диапазоне ниже 400 см⁻¹ различие колебательных спектров зомана и зарина незначительно. Таким образом, для идентификации фрагмента PFOCH₃ следует использовать сильные по интенсивности в ИК-спектрах полосы, интерпретированные в табл. 2 как валентные колебания связей PF, PO, PC. К признаку спектральной идентификации соединений можно отнести средние по интенсивности в ИК-спектрах полосы в диапазоне 450–400 см⁻¹, интерпретированные как деформационные колебания валентных углов с центральным атомом фосфора. Выбор базиса расчета принципиального значения не имеет, влияние поляризационных параметров атомного базиса оказывается на высокочастотном диапазоне спектра. Смещение полос, которое достигает величины около 25 см⁻¹, на интерпретации спектра в этом диапазоне не оказывается. Диффузионными эффектами атомного базиса можно пренебречь. Качественная оценка интенсивностей полос при смене базиса сохраняется.

СИСТЕМНЫЙ АНАЛИЗ И МАТЕМАТИЧЕСКОЕ МОДЕЛИРОВАНИЕ

Влияние ангармонического смещения полос, в зависимости от используемого в предсказательных расчетах базиса, иллюстрирует табл. 3.

Таблица 3

Влияние базиса расчета на положение фундаментальных полос зомана

Форма ко- леб	6–31G(d)		6–311G(d, p)		Форма колеб	6–31G(d)		6–311G(d, p)	
	v	$\chi_{\text{анг}}$	v	$\chi_{\text{анг}}$		v	$\chi_{\text{анг}}$	v	$\chi_{\text{анг}}$
q_{CH}	3170	-148	3148	-142	Q_{CC}	1162	-29	1150	-28
q_{CH}	3168	-151	3145	-147	β_{CCH}	1126	-32	1112	-29
q_{CH}	3142	-149	3119	-140	β_{CCH}	1046	-17	1037	-16
q_{CH}	3139	-146	3114	-144	Q_{CO}	1027	-31	1012	-30
q_{CH}	3131	-145	3107	-133	Q_{OP}	990	-23	983	-23
q_{CH}	3118	-148	3094	-143	β_{CCH}	979	-6	970	-17
q_{CH}	3114	-144	3089	-141	β_{PCH}	959	-22	945	-22
q_{CH}	3110	-148	3086	-142	β_{PCH}	946	-11	937	-7
q_{CH}	3083	-113	3061	-131	β_{PCH}	939	-20	927	-19
q_{CH}	3081	-125	3059	-115	Q_{CC}	918	-20	909	-20
q_{CH}	3068	-70	3046	-88	Q_{PF}	846	-14	811	-14
q_{CH}	3052	-86	3031	-71	β_{CCH}	812	-26	804	-22
q_{CH}	3046	-83	3025	-72	Q_{CC}	767	-11	761	-9
q_{CH}	3039	-128	3022	-119	Q_{PC}	735	-13	727	-12
α_{HCH}	1542	-46	1515	-37	β_{CCC}	570	-10	568	2
α_{HCH}	1538	-45	1510	-39	β_{CCO}	514	-14	513	-9
α_{HCH}	1535	-39	1506	-29	β_{OPO}	456	-14	456	-6
α_{HCH}	1521	-51	1493	-50	β_{OPC}	434	-6	433	-11
α_{HCH}	1518	-41	1490	-35	α_{OPF}	410	-9	408	-6
α_{HCH}	1517	-41	1489	-34	β_{CCC}	356	-7	355	-3
α_{HCH}	1492	-43	1462	-36	β_{CCO}	319	-4	318	-1
β_{CCH}	1491	-43	1460	-35	α_{FPC}	280	-14	280	-7
β_{CCH}	1453	-34	1430	-36	β_{CCC}	270	-32	270	3
β_{CCH}	1451	-43	1426	-33	β_{FPC}	256	-32	253	13
β_{CCH}	1430	-29	1405	-33	xx_{CH_3}	241	-28	238	-3
β_{CCH}	1415	-30	1398	-33	xx_{CH_3}	236	-27	233	-8
β_{CCH}	1404	-36	1390	-33	xx_{CH_3}	215	-17	213	5
α_{PCH}	1382	-31	1358	-33	β_{CCO}	201	-10	201	-3
β_{CCH}	1372	-37	1355	-31	xx_{PCH_3}	172	-137	169	34
β_{CCH}	1353	-27	1341	-25	β_{COP}	142	-4	139	-8
$Q_{\text{P=O}}$	1305	-18	1296	-18	xx	65	-24	64	-4
Q_{CC}	1232	-29	1220	-30	xx	47	-29	47	12
Q_{CC}	1197	-29	1184	-21	xx	12	-15	16	79

Предпочтение следует отдать базисам 6–311 G(d, p), 6–311+ G(d, p), 6–311++ G(d, p), поскольку известный недостаток численных методов технологии Gaussian 03 в оценке ангармонических параметров для низкочастотной области колебательного спектра в указанных базисах не сказывается на крутильных колебаниях метильной группы, в том числе для фрагмента PCH_3 .

Анализ полученных модельных расчетов геометрии и колебательных состояний молекулы зомана, их сопоставление с имеющимися экспериментальными данными для отдельных молекулярных фрагментов позволяют сделать вывод о возможности предсказательных рас-

ПРИКАСПИЙСКИЙ ЖУРНАЛ: **управление и высокие технологии № 1 (9) 2010**

четов колебательных спектров фосфорорганических соединений в рамках метода функционала плотности DFT/B3LYP.

Библиографический список

1. *Березин, В. И.* Прямые и обратные задачи спектроскопии циклических и комплексных соединений : дис. ... д-ра физ.-мат. наук / В. И. Березин. – Саратов, 1983.
2. *Браун, П. А.* Введение в теорию колебательных спектров / П. А. Браун, А. А. Киселев. – Л. : Изд-во ЛГУ, 1983. – 223 с.
3. *Герцберг, Г.* Электронные спектры и строение многоатомных молекул / Г. Герцберг. – М. : Мир, 1969. – 772 с.
4. *Грибов, Л. А.* Методы и алгоритмы вычислений в теории колебательных спектров молекул / Л. А. Грибов, В. А. Дементьев. – М. : Наука, 1981. – 356 с.
5. *Краснощеков, С. В.* Масштабирующие множители как эффективные параметры для коррекции неэмпирического силового поля / С. В. Краснощеков, Н. Ф. Степанов // Журнал физической химии. – 2007. – Т. 81, № 4. – С. 680–689.
6. *Мясоедов, Б. Ф.* Фрагментарные методы расчета ИК спектров фосфорорганических соединений / Б. Ф. Мясоедов, Л. А. Грибов, А. И. Павлючко // Журнал структурной химии. – 2006. – Т. 47, № 3. – С. 449–456.
7. *Пулин, В. Ф.* Исследование динамики молекулярных соединений различных классов / В. Ф. Пулин, М. Д. Элькин, В. И. Березин. – Саратов : СГТУ, 2002. – 546 с.
8. *Свердлов, Л. М.* Колебательные спектры многоатомных молекул / Л. М. Свердлов, М. А. Ковнер, Е. П. Крайнов. – М. : Наука, 1970. – 550 с.
9. *Элькин, П. М.* Методы оптической физики в экологическом мониторинге фосфорорганических соединений / П. М. Элькин, В. Ф. Пулин, А. С. Кладиева // Вестник СГТУ. – 2007. – № 2 (25), вып. 2. – С. 176–181.
10. *Ernest, H.* FT-IR analysis of chemical warfare agents / H. Ernest, Jr. Braue, M. G. Pannella // Microchimica Acta. – 1988. – Vol. 94. – № 1. – Р. 11–16.
11. *Frisch, M. J.* Gaussian 03, Revision B.03; Gaussian / M. J. Frisch, G. W. Trucks, H. B. Schlegel et al. – Pittsburgh : Gaussian Inc., 2003.
12. *Nielsen, H. H.* The vibration-rotation energies of molecules and their spectra in the infrared // Handbook der Physik. – 1957. – Vol. 37, № 1. – Р. 173–313.
13. *Yoshida, H. A* New Approach to Vibrational Analysis of Large Molecules by Density Functional Theory: Wavenumber-Linear Scaling Method / H. Yoshida, K. Takeda, J. Okamura, A. Ehara, H. Matsuura // Journal of Physical Chemistry A. – 2002. – Vol. 106, № 14. – Р. 3580–3586.

УДК 539.194

СТРУКТУРНО-ДИНАМИЧЕСКИЕ МОДЕЛИ МОНОГАЛОИДОЗАМЕЩЕННЫХ БЕНЗАЛЬДЕГИДА

М.Д. Элькин, Т.А. Шальнова, И.И. Гордеев

Выполнен теоретический анализ колебательных спектров моногалоидозамещенных бензальдегида (C_6H_4XCOH ; $X=F, Cl, Br$). Выявлены колебания, идентифицирующие тип и место замещения. Рассмотрено влияние ангармонических резонансных эффектов и межмолекулярного взаимодействия.

Ключевые слова: галоидозамещенные бензальдегида, колебательные спектры, ангармонические резонансы, межмолекулярное взаимодействие.